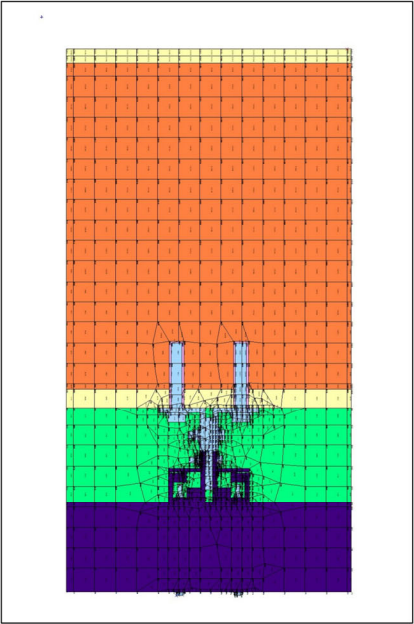
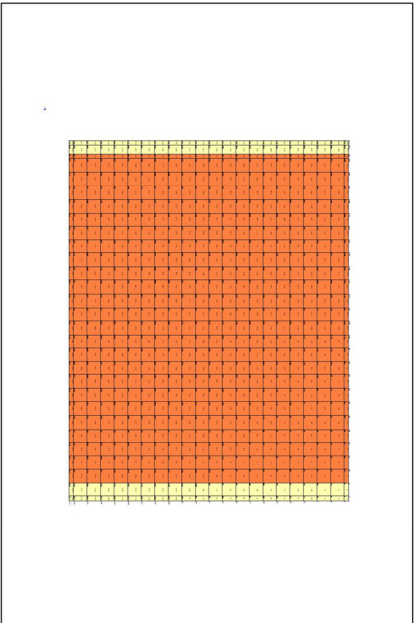
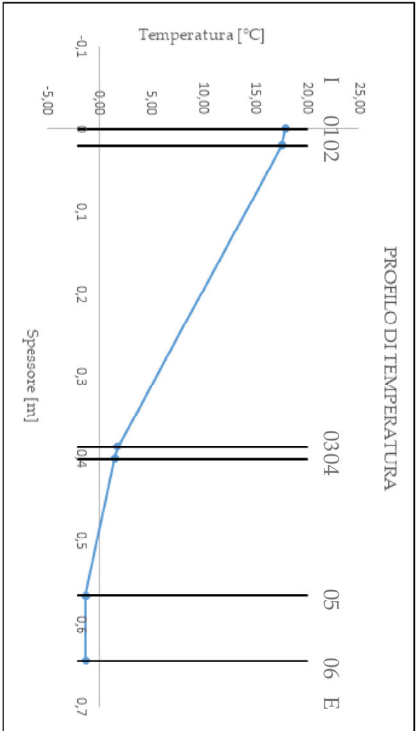


VERIFICA CONDENSA SUPERFICIALE PRE-INTERVENTO	
U [W/m²K]	0,71
h _v [W/m²K]	7,69
T _i [°C]	20
T _e [°C]	-2
φ _v [-]	50%
φ _s [-]	90%
T _{pi} [°C]	18,14
T _i [°C]	9,30



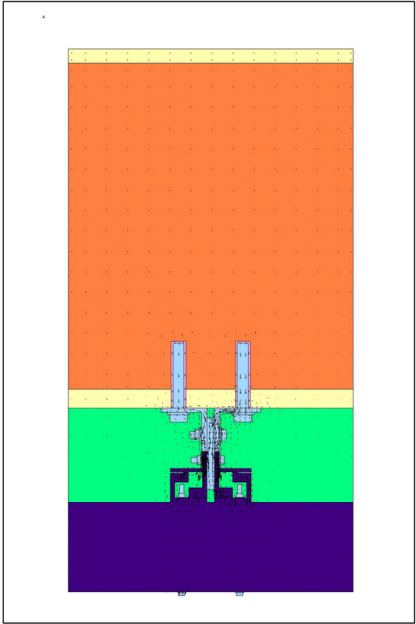
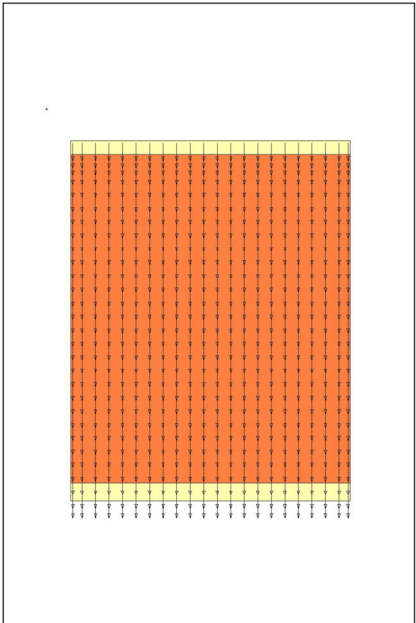
DISCRETIZZAZIONE DELLA MESH RISPETTIVAMENTE PRE E POST-INTERVENTO

DIAGRAMMA DI MOLLIER



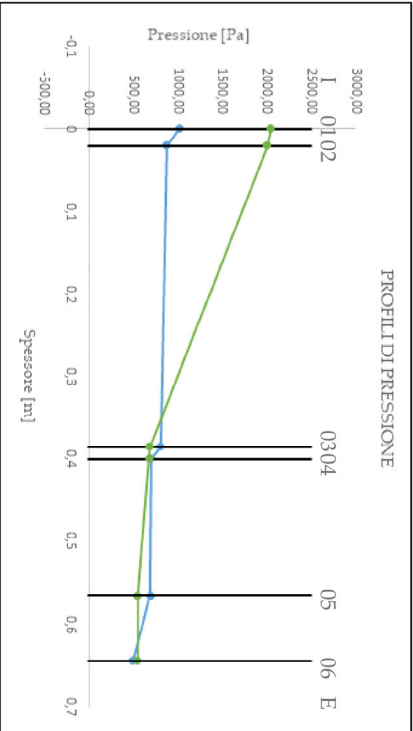
LEGENDA:

— Profilo di temperatura;



VETTORI DI FLUSSO RISPETTIVAMENTE PRE E POST-INTERVENTO

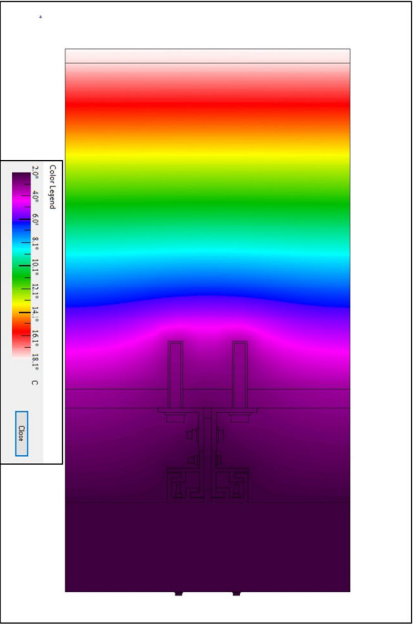
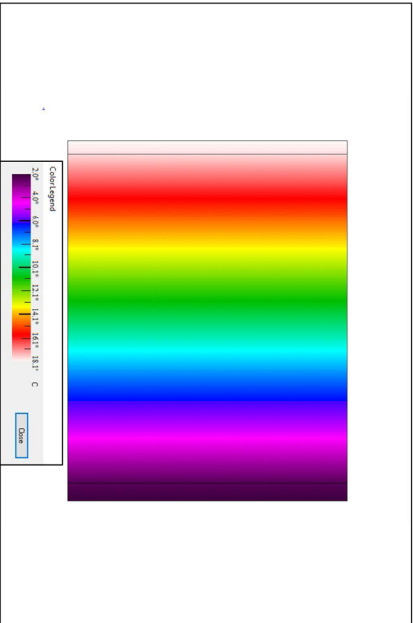
PROFILO DI TEMPERATURA POST-INTERVENTO



LEGENDA:

— Profilo di pressione di vapore di saturazione;

— Profilo di pressione di vapore;



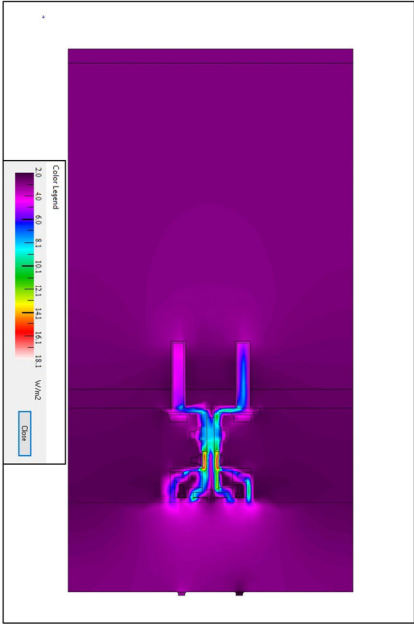
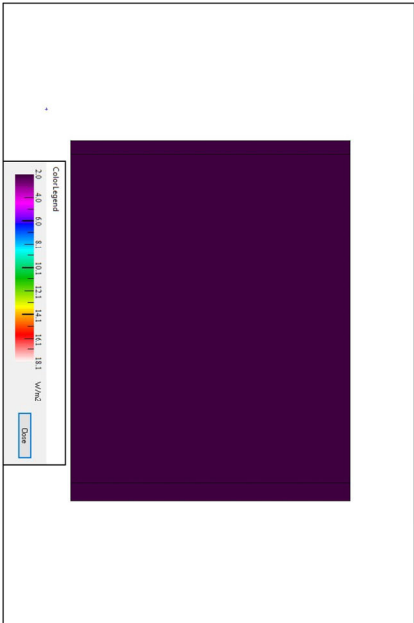
SIMULAZIONE FEM DELLE TEMPERATURE RISPETTIVAMENTE PRE E POST-INTERVENTO

PROFILO DI PRESSIONE POST-INTERVENTO

VERIFICA CONDENSA INTERSTIZIALE POST-INTERVENTO		
Punto	Profilo di temperatura	Profilo di pressione di vapore di saturazione [Pa]
[°C]	[Pa]	[Pa]
01	18,14	1037,00
02	17,82	808,27
03	3,32	701,12
04	3,09	529,57
05	0,51	523,02
06	-1,28	498,60

La condizione limite T_{pi} superiore alla T_i viene verificata garantendo l'assenza di fenomeni di condensazione superficiale.

Inoltre il profilo di pressione di vapore è superiore al profilo di pressione di vapore di saturazione nel punto 03 generando quindi l'insorgenza di fenomeni di condensazione interstiziale.



MAGNITUDINE DEL FLUSSO RISPETTIVAMENTE PRE E POST-INTERVENTO